

# 高次元写像に於ける不確定点の可積分極限での振舞い

齋藤, 暁

畠中, 智哉  
首都大学大学院理学研究科

齋藤, 革子  
横浜国立大学工学部

<https://doi.org/10.15017/18704>

---

出版情報：応用力学研究所研究集会報告. 21ME-S7 (14), 2010-03. 九州大学応用力学研究所  
バージョン：  
権利関係：

応用力学研究所研究集会報告 No.21ME-S7

「非線形波動研究の現状と将来 — 次の10年への展望」 (研究代表者 矢嶋 徹)

共催 九州大学グローバル COE プログラム

「マス・フォア・インダストリ教育研究拠点」

Reports of RIAM Symposium No.21ME-S7

*Current and Future Research on Nonlinear Waves —  
Perspectives for the Next Decade*

Proceedings of a symposium held at Chikushi Campus, Kyushu University,  
Kasuga, Fukuoka, Japan, November 19 - 21, 2009

Co-organized by

*Kyushu University Global COE Program*

*Education and Research Hub for Mathematics - for - Industry*

Article No. 14 (pp. 94-98)

# 高次元写像に於ける不確定点の可積分 極限での振舞い

齋藤 暁 (SAITO Satoru), 畠中 智哉 (HATANAKA Tomoya),  
齋藤 革子 (SAITOH Noriko)

(Received January 28, 2010)



Research Institute for Applied Mechanics  
Kyushu University  
March, 2010

# 高次元写像に於ける不確定点の可積分極限での振舞い

首都大理学研究科 (特別研究員) 齋藤 暁 (SAITO Satoru)

首都大理学研究科 畠中智哉 (HATANAKA Tomoya)

横浜国大工学部 齋藤革子 (SAITOH Noriko)

高次元有理写像に於いて、ジュリア集合が可積分極限でどのように消滅するの  
かを解析的に調べた。

## 1 序

以下で用いる言葉の記号と意味を次のように定める。

- 不確定点： 写像の分子と分母が同時にゼロになる点
- ジュリア集合： 不安定周期点の集合の閉包
- 不変周期点多様体 (IVPP)： 写像の各周期毎に不変量で定まる周期点の作る多様体
- 不安定固定点多様体 (UVFP)： 非可積分のときのみ存在する固定点の作る多様体
- 特異点多様体 (VSP)： すべての周期の周期点と同時に集積する点の作る多様体

これらについては前回次の定理 1 を示した。

定理 1 十分な数の不変量を持つ可積分写像の周期点は各周期毎に IVPP を成す

今回は以下の 2 つの定理を示す。

定理 2 ジュリア集合は可積分極限で

- UVFP を持たなければ、すべてが各周期毎に対応する IVPP に漸近する
- UVFP を持てば、一部が各周期毎に IVPP に漸近し、残りはすべての周期の周期点  
が UVFP に漸近する
- UVFP 自身は可積分極限で消滅するか、VSP に変わる

定理 3 特異点閉じ込めから回復した写像の列は周期点の集合を生成する

系 特異点閉じ込めから回復した可積分写像の列はすべての IVPP を生成する

## 2 UVFP への漸近と VSP の生成 (定理 2)

パラメーター  $a$  を持つ  $\hat{C}^d$  上の有理写像  $f(a)$

$$\mathbf{x} = (x_1, x_2, \dots, x_d) \xrightarrow{f(a)} \mathbf{X} = (X_1, X_2, \dots, X_d) \quad (1)$$

の繰り返し  $\mathbf{x} \rightarrow \mathbf{X} \rightarrow \mathbf{X}^{(2)} \rightarrow \mathbf{X}^{(3)} \rightarrow \dots$  を考え、

$$a \neq 0 \quad \text{なら非可積分、} \quad a = 0 \quad \text{なら可積分}$$

とする。点の集合

$$G_a = \left\{ \mathbf{x} \mid \bigcap_{j=1}^d \{w_j(a, \mathbf{x}) = 0\} \right\}, \quad (2)$$

は  $f(a)$  の不安定固定点多様体 (UVFP)、即ちこの上で  $f(a)$  は

$$a \neq 0 \quad \text{なら } \mathbf{X} = \mathbf{x}, \quad a = 0 \quad \text{なら } \mathbf{X} \neq \mathbf{x}$$

とする。このような有理写像は一般に

$$X_j = \frac{P_j(a, \mathbf{x}) + ax_j}{Q_j(a, \mathbf{x}) + a}, \quad j = 1, 2, \dots, d,$$

と書ける。ただし  $P_j, Q_j$  は  $a = 0$  で恒等的にゼロでないが、 $G_a$  上ではゼロとなる有理関数であり、次のように表せる：

$$P_j(a, \mathbf{x}) = \sum_{i=1}^d f_{ij}(a, \mathbf{x})w_i(a, \mathbf{x}), \quad Q_j(a, \mathbf{x}) = \sum_{i=1}^d g_{ij}(a, \mathbf{x})w_i(a, \mathbf{x})$$

周期条件は

$$X_j^{(n)} = \frac{P_j(a, \mathbf{X}^{(n-1)}) + aX_j^{(n-1)}}{Q_j(a, \mathbf{X}^{(n-1)}) + a} = x_j, \quad (3)$$

即ち

$$\sum_{i=1}^d \{f_{ij}(a, \mathbf{X}^{(n-1)}) - x_j g_{ij}(a, \mathbf{X}^{(n-1)})\} w_i(a, \mathbf{X}^{(n-1)}) = a(x_j - X_j^{(n-1)}) \quad (4)$$

と書け、 $a \neq 0$  のときには  $n$  周期点の他に UVFP(2) もこれを満たす。 $a$  が 0 に近付けば  $n$  周期点は連続的に移動する。右辺がゼロになったとき、左辺は IVPP の点によって満たされるが、その他に UVFP(2) 上の点もこの条件を満たす。従って定理 2 の始めの 2 項が示された。

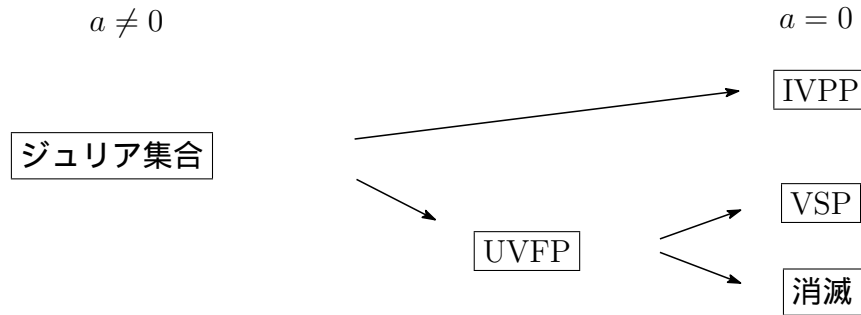
(4) を  $x_k$  で微分して、(2) の近傍の振舞を見ると

$$\left. \frac{\partial X_j(\mathbf{x})}{\partial x_k} \right|_{w_j=0} = \delta_{jk} + \frac{1}{a} \sum_{i=1}^d \{f_{ij}(a, \mathbf{x}) - x_j g_{ij}(a, \mathbf{x})\} \frac{\partial w_i(a, \mathbf{x})}{\partial x_k}$$

となって、 $a \rightarrow 0$  の極限で発散する。このことから  $G_a$  を不安定固定点多様体 UVFP と呼んだ。可積分極限に於いて写像は

$$X_j \xrightarrow{a \rightarrow 0} \frac{\sum_{i=1}^d f_{ij}(0, \mathbf{x}) w_i(0, \mathbf{x})}{\sum_{i=1}^d g_{ij}(0, \mathbf{x}) w_i(0, \mathbf{x})}, \quad j = 1, 2, \dots, d$$

となることから、写像は一般に  $G_a$  上で分母と分子が同時にゼロとなり、従って UVFP は特異点多様体 VSP になる。分母と分子で  $w_i$  が偶々打ち消し合えば、UVFP は消滅する。以上を纏めると



例： 3次元 Lotka-Volterra 写像

$$X = x \frac{1+a-y+yz}{1+a-z+zx}, \quad Y = y \frac{1+b-z+zx}{1+b-x+xy}, \quad Z = z \frac{1+c-x+xy}{1+c-y+yz}$$

は不安定固定点多様体 (UVFP)

$$\Lambda_+ = \{1-y+yz=0 \cap 1-z+zx=0 \cap 1-x+xy=0\}$$

を持つ。  $(a, b, c) = (0, 0, 0)$  では不変量

$$r = xyz, \quad s = (1-x)(1-y)(1-z)$$

を持ち可積分。このとき IVPP,  $\gamma^{(n)}(r, s) = 0$ , は

$$\gamma^{(2)}(r, s) = s + 1,$$

$$\gamma^{(3)}(r, s) = r^2 + s^2 - rs + r + s + 1,$$

$$\gamma^{(4)}(r, s) = r^3 s + s^3 - 3rs^2 + 6r^2 s + 3rs - r^3 + s, \quad \text{etc.}$$

### 3 特異点閉じ込めから生成される IVPP(定理 3)

写像

$$X_j = \frac{N_j(\mathbf{x})}{D_j(\mathbf{x})}, \quad j = 1, 2, \dots, d$$

が点  $\mathbf{x} = \mathbf{x}_0$  で発散し、その後特異点閉じ込めが起きたとする。例えば

$$D_1^{(k)}(\mathbf{x}_0) = 0, \quad D_1^{(k+n)}(\mathbf{x}_0) \neq 0, \quad n = 1, 2, \dots$$

ならば  $D_1^{(k+n)}(\mathbf{x}) = 0$  の解は  $n$  周期条件を満たす。

何故ならば、 $n$  周期点又は  $n$  を割り切る周期の周期点のみがこの条件を満たし得るからである。特に写像が IVPP を持つ可積分写像ならば

$$D_1^{(k+n)}(\mathbf{x}) \propto \gamma^{(n)}, \quad n = 2, 3, \dots \quad (5)$$

例： 再び 3d LV 写像について、可積分な場合を考える。

$\mathbf{x}_0 = (x, y, \frac{1}{1-x})$  とすると写像は

$$\mathbf{x}_0 \rightarrow (\infty, 0, 1) \rightarrow (1, 0, \infty) \rightarrow \left(\frac{1}{1-x}, y, x\right) \rightarrow \dots \quad (6)$$

となって特異点  $(\infty, 0, 1)$  は閉じ込められる。今の場合  $k = 1$  である。不変量  $r, s$  を用いて

$$\mathbf{x}_0 = \left(\frac{r-s}{r+1}, r\frac{s+1}{r-s}, \frac{r+1}{s+1}\right), \quad \mathbf{X}^{(3)} = \left(\frac{r+1}{s+1}, r\frac{s+1}{r-s}, \frac{r-s}{r+1}\right)$$

と書けることに注目すると、 $D_1^{(3)} = s+1 = \gamma^{(2)}(r, s)$  である。写像を繰り返すことによって (5) が容易に確かめられ、各周期毎に異なる IVPP の曲面の系列

$$1 \rightarrow \gamma^{(2)}(r, s) \rightarrow \gamma^{(3)}(r, s) \rightarrow \gamma^{(4)}(r, s) \rightarrow \dots$$

が得られる。

## 4 Remarks

- 可積分 3dLV 写像の不確定点集合

$$\Lambda_+ = \{1 - y + yz = 0 \quad \cap \quad 1 - z + zx = 0 \quad \cap \quad 1 - x + xy = 0\}$$

及び逆写像の不確定点集合

$$\Lambda_- = \{1 - z + yz = 0 \quad \cap \quad 1 - x + zx = 0 \quad \cap \quad 1 - y + xy = 0\}$$

は  $r = s = -1$  によって満たされ、その上ですべての周期の周期条件

$$\gamma^{(n)}(-1, -1) = 0, \quad n = 2, 3, \dots$$

が満たされる。即ち  $\{\Lambda_+ \cup \Lambda_-\}$  は特異点多様体 (VSP)。

- 導来可積分圏

$$(X^{(n+1)}, Y^{(n+1)}, Z^{(n+1)}) = \left( \frac{\tau_3^{(n-1)} \tau_3^{(n)}}{\tau_2^{(n-1)} \tau_1^{(n)}}, r \frac{\tau_1^{(n-1)} \tau_1^{(n)}}{\tau_3^{(n-1)} \tau_2^{(n)}}, \frac{\tau_2^{(n-1)} \tau_2^{(n)}}{\tau_1^{(n-1)} \tau_3^{(n)}} \right)$$

と置けば 3dLV から広田・三輪方程式

$$\tau_1^{(n-1)} \tau_3^{(n)} + \sigma \tau_3^{(n-1)} \tau_1^{(n)} + \tau_2^{(n-1)} \tau_2^{(n)} = 0$$

が得られる。写像  $(x, y, z) \rightarrow (X, Y, Z)$  は導来圏の八面体のシフト  $\tau_j^{(n)} = \tau_j^{(n-1)}[1]$  に他ならない

$$\tau_1^{(n-1)} \rightarrow \tau_2^{(n-1)} \rightarrow \tau_3^{(n-1)} \rightarrow \tau_1^{(n)} \rightarrow \tau_2^{(n)} \rightarrow \dots$$

